

変形を考慮してアーチ橋の弾塑性立体解析

大阪大学工学部 正会員 前田 幸雄
 大阪大学工学部 正会員 林 正
 大阪大学大学院 学生員 森川 康義

1. まえがき アーチ橋の塑性崩壊荷重については多くの研究が行はれていますが、面外荷重による弾塑性挙動については、まだ十分明らかにされていない。そこで、本報告では、幾何学的非線形性と材料非線形性を同時に考慮した立体のマトリックス変位法を用いて、2本のリブを有するアーチ橋の弾塑性挙動について解析を行った。

2. 基礎式 (1) 解析仮定： 本解析では次の仮定を用いた。1) 部材は2軸対称断面とし、断面形状は不変である。2) 構造物の変形は大きいが、部材の接線回転角と両端の相対ねじり角は小さい。3) 曲げによる剪断変形は無視する。4) ねじり率は、部材内部で一定とし、そりは考慮しない。5) 材料は理想弾塑性材料とし、ひずみ硬化は考慮しない。6) 降伏条件には、ミーゼスの降伏条件を用い、塑性域における応力-ひずみ増分関係は Prandtl-Reuss の仮定に従う。7) 塑性崩壊以前に局部座屈は生じないものとする。

(2) 平衡方程式： 増分形の仮想仕事の原理より、第(n+1)段階における平衡方程式は

$$\Delta F + (\int_{\Omega}^n B^T \sigma^n dV) = (\int_{\Omega} B^T D^n B dV + \int_{\Omega} G^n \sigma^n G dV) \Delta u \quad (1)$$

となる。この式における積分計算は塑性域にわたりため、図-1 に示すように一要素内をさらに細分割する断面分割法を用いる。この時、塑性化している細分割要素に対しては、 $D = D_p$ (塑性応力-ひずみマトリックス) を用い、また残応力 σ^n は細分割要素内で直線分布と仮定している。次に式(1)を回転行列を用いて剛体変位の影響を除いた立体の座標変換行列¹⁾ により基準系に直し、構造物全体に組立てると

$$\Delta F + \Delta R = (K + K_G) \Delta U \quad (2)$$

図-1

の平衡方程式が得られる。

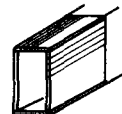
3. 数値解析法 (1) 荷重増分量と降伏域の決定： 一回の荷重増分により複数個の細分割要素の降伏を許すものとして、ミーゼスの降伏条件に許容範囲 ϵ_p をとり、荷重増分量を次のように決定する。仮想荷重増分 ΔF により弾性の細分割要素の平均応力増分 $\Delta \sigma_i$ が得られると、

$$(Q_i^{(n)} + \Delta \sigma_i)^2 + 3(\tau_i + \tau_e \Delta \tau_i)^2 = \sigma_y^2 (1 + \epsilon_p)^2 \quad \sigma_y: \text{降伏応力} \quad (3)$$

により、各々を求め、最小値 σ_{min} により真の荷重増分量 $\sigma_{min} \Delta F$ を求める。この $\sigma_{min} \Delta F$ を新たに荷重増分として計算をやり直した時、細分割要素の相当応力が降伏範囲内に含まれているならば降伏と判定する。このように細分割要素に対して弾塑性の判定を行なうため、塑性域の拡がりが逐次追跡できることになる。

(2) 除荷： 細分割要素の塑性仕事増分が負になった時、除荷の発生とみなし、その要素の応力-ひずみマトリックスを弾性にもどし、計算を繰り返す。

(3) 崩壊： 接線剛性行列の行列式の値が $|K + K_G| \leq 0$ には、に時に崩壊と判定するが、行列式が負の場合には、一断面の細分割要素がすべて塑性化した場合には、大きな変形を生じるために、この時も崩壊と判定する。



4. 計算例

数値計算は荷重増分法を用いて行なった。
(1)構造形式： 図-2に示す薄肉折面よりなる放物線固定アーチを対象としてその断面諸量を表-1に示す。断面は40分割とした。

(2)荷重条件： 等分布死荷重(w_0)を先行載荷し、等分布活荷重として(i)面内全載 (ii)面内半載(P) (iii)面外全載(q)の3ケースと塑性崩壊が生じるまで漸増載荷した。

(3)降伏応力、残留応力： 降伏応力としては $\sigma_y = 2400 \text{ kg/cm}^2$, 4600 kg/cm^2 の2ケースとし、図-3に仮定して残留応力分布を示す。

(4)解析法： 解法の比較として(a)幾何学的非線形性のみ考慮して解析 (b)材料非線形性のみ考慮して解析 (c)両方の非線形性を同時に考慮して解析の3つの場合を行なった。

5. 計算結果

図中 w_0 は限界死荷重強度²⁾であり、 N_p, M_{yp} は降伏軸力、全塑性モーメントである。図-4は荷重ケース(iii)の場合の荷重-変位(δ/L と面内たわみ)曲線である。図-5は荷重ケース(iii)の場合の荷重-変位(リフターラウンの面内たわみ)曲線を表す。図中の塑性崩壊(X印)は、风下側の固定端断面の細分割要素がすべて塑性化した時点を示す。図-6は荷重ケース(iii)、解法(c)、 $\sigma_y = 4600 \text{ kg/cm}^2$ 、残留応力がない時のリフターラウンの塑性域の進展状況を示す。図-7, 8はこの時のリフターラウンの面内モーメント(M_y)、軸力(N)の分布図である。

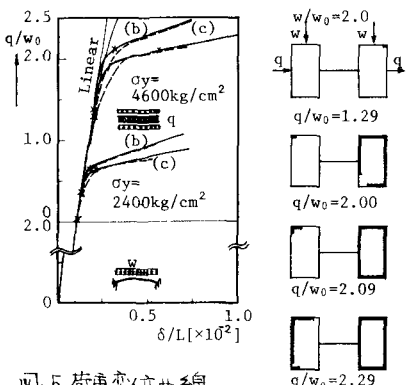


図-5. 荷重変位曲線

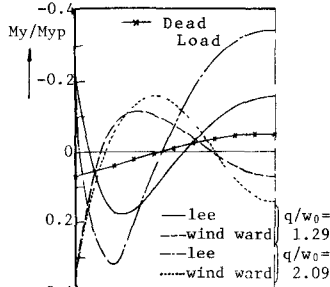


図-6. 塑性域の進展

6. あとがき

以上の計算結果より対象としたアーチ橋に対して次のことがいえる。
(1)本方法により材料非線形と幾何学的非線形の両方を考慮して立体構造物の解析が統一的に行なえる。(2)塑性域の拡がりを逐次追跡することができる。(3)本計算例のアーチ橋の場合、変形の影響を考慮して弾塑性解析による塑性崩壊荷重は材料非線形性のみ考慮して解析により得た値に比べてかなり低くなる。(4)残留応力はあたし、変形には大きな影響を与えるが、曲げが卓越する荷重状態の場合には、崩壊荷重には影響しない。

1)前田林忠村:立体骨組構造物の大变形解析、第1回反復平衡計算講演概要、昭和49年5月
2)道路橋示方書、II 11.3節

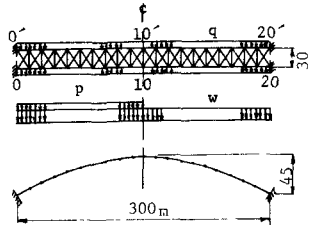


図-2 計算例

表-1 断面諸量

Arch	$A = 0.47 \text{ m}^2, J = 1.44277 \text{ m}^4$
Rib	$I_y = 1.4638 \text{ m}^4, I_z = 0.52501 \text{ m}^4$
Strut	$A = 0.047 \text{ m}^2, I_y = 0.73 \text{ m}^4$
Bracing	$A = 0.094 \text{ m}^2, A = 0.047 \text{ m}^2$

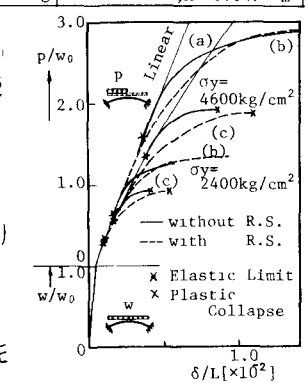


図-4 荷重-変位曲線

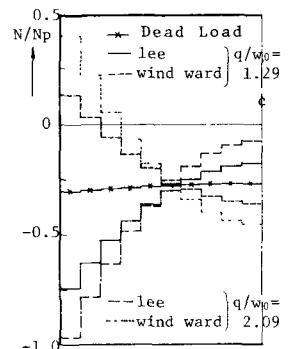


図-8 軸力分布